无人机三维目标定位系统设计与实现

朱芝靖¹,王继红^{2*},胡三宁²

- (1. 郑州科技学院电子与电气工程学院,河南 郑州 450064:
 - 2. 河南科技大学应用工程学院,河南 三门峡 472000)

摘 要 随着无人机在应急救援、电力巡检、环境监测等领域的广泛应用,高精度、实时化的三维目标定位成为关键技术需求。本文针对现有无人机定位系统在远距离、复杂环境下存在的硬件负载重、功耗高、环境适应性差等问题,通过模块化集成与性能优化,构建集环境感知、数据处理与无线传输于一体的无人机三维目标定位硬件系统,重点阐述各核心硬件模块的电路设计及参数选型,以期为相关人员提供借鉴。

关键词 无人机;三维目标定位;模块化设计;低功耗

基金项目: 2023 年河南省科技计划项目(项目编号: 232102210145)。

中图分类号: TP391.41; V279

文献标志码: A

DOI: 10.3969/j.issn.2097-3365.2025.30.002

0 引言

无人机产业作为国家战略性新兴产业, 在政策推 动与技术迭代的双重驱动下实现快速发展。无人机凭 借成本低、机动性强、无人员伤亡风险等优势,已广 泛应用于民用勘测、科学研究等领域。在民用方面, 如地质监测、气象观测、资源勘探和森林防灾防火等工 作中价值显著: 在科学研究中, 高校和科研机构也将 其用于大气研究、核生化污染区取样与监控等任务[1]。 然而, 无人机在执行任务时面临复杂多变的环境与技 术挑战,定位和导航是实现其高效、安全运行的核心 技术。在开阔地区,无人机通常依赖全球定位系统(GPS) 确定位置和航向, 但在城市峡谷、室内、地下或其他 全球导航卫星系统(GNSS)信号受限的环境中,GPS信 号丢失或干扰会严重影响定位精度与操作安全[2]。此 外, 无人机拍摄时的倾斜角度及目标物在图像中的位 置偏差,导致二维目标定位无法满足立体位置高精度 定位需求,且人为信号干扰进一步对定位系统提出更 高要求。本文针对无人机三维目标定位的技术痛点, 融合机器视觉、图像匹配校正、5G 通信等技术,构建 完整的无人机三维目标定位硬件系统。

1 硬件总体架构

在无人机三维目标定位系统的分层架构中, 机载端是无人机三维目标定位系统的核心前端感知单元, 可直接搭载于小型无人机平台, 其核心职责涵盖环境 感知、设备状态监测及数据预处理, 通过多模块协同 工作,为后续定位解算环节提供高精度数据支撑,保 障定位系统整体性能。

无人机三维目标定位系统机载端采用"异构集成+模块化"架构,以STM32H743VGT6高性能微控制器为核心,串联图像采集、惯性测量、无线通信与智能电源四大功能模块,各模块通过标准化接口实现数据交互,整体架构如图1所示。

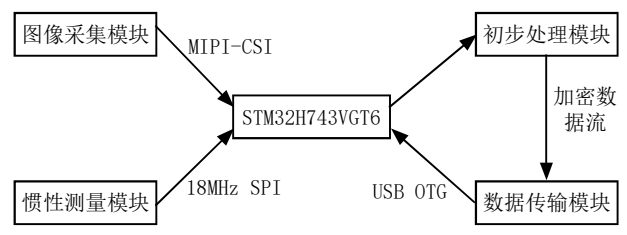


图 1 机载端系统架构图

接口采用工业级标准接口(如 MIPI-CSI 用于图像传输、SPI 用于 IMU 数据读取、USB OTG 用于 5G 通信),避免自定义接口导致的兼容性问题,同时提升数据传输速率(如 MIPI-CSI 速率达 5Gbps,满足 2 000 万像素 60fps 图像传输需求)。关键模块(如电源、通信)采用冗余设计,温度敏感部件(如 IMU、相机镜头)增加温度补偿电路,接口处添加 ESD 防护(±8 kV 接触放电),确保在 -20~+60 ℃环境下稳定工作。同时,通过芯片级集成、选用微型元器件、简化外围电路、硬件加速处理与动态功耗调节,实现各功能模块的高效闭环,其轻量化与实时性表现完全契合小型无人机的作业需求,为系统整体定位精度提供前端保障。

^{*}本文通信作者, E-mail: zkdywjh@126.com。

2 核心模块硬件设计与实现

2.1 主控模块

本设计选用 STM32H743VGT6 作为主控芯片,该芯 片可满足图像预处理(高斯滤波、CLAHE 增强)与特征 提取(改进 SIFT 算法)的算力需求。在功能覆盖与数 据交互层面,该主控模块通过多类型异构接口的精细 化配置,实现了与各类机载设备的高效适配,构建起 全维度数据采集与传输链路。MIPI-CSI 接口专为机载 相机设计, 支持最高 60fps 的 1920×1080 像素图像输 入,这一帧率可确保无人机在10 m/s 飞行速度下,每 帧图像对应的地面覆盖范围重叠率超80%,为后续图像 配准与特征匹配提供充足的场景信息; SPI 接口挂载 MPU9250 IMU 与气压计, 100 Hz 的姿态与高度数据采 集频率,可实时补偿无人机飞行中的姿态扰动,使定 位误差减少 15% 以上 [3]; I2C 接口扩展的温湿度传感器 与电源监测芯片,能实时反馈设备工作环境参数,更 可在电源电压波动超过 ±5% 时触发预警; PCIe 接口连 接的 5G 模块, 支持最高 50 Mbps 的无线数据上传速率, 将定位结果、关键图像数据在1 s 内传输至地面端, 满足实时决策需求。

2.2 图像采集模块

图像采集模块是无人机"视觉感知窗口",其核心需求是在 500 m距离内清晰捕捉目标细节、输出高帧率图像、适应宽温环境($-20 \sim +60 \,^{\circ}\mathrm{C}$),同时满足轻量化与低延迟。图像采集模块选用 1/2.3 英寸 2 000万像素 CMOS 传感器(KS2A418),搭配 4 mm 定焦镜头,视场角 78° ,支持 $-20 \sim +60 \,^{\circ}\mathrm{C}$ 宽温工作。传感器通过 MIPI-CSI-2 接口与 STM32H743 直连,传输速率 5 Gbps,每帧 12 MB 图像数据无延迟传输,60 fps 帧率确保动态目标连续捕捉 $^{[4]}$ 。该模块可在复杂环境下稳定输出高分辨率、高帧率图像,为后端改进 SIFT 特征提取算法提供高质量数据源,满足远距离定位需求。

2.3 惯性测量模块

惯性测量模块(IMU)用于实时获取无人机姿态(俯仰角、横滚角、航向角)与运动参数(加速度、角速度),为图像特征匹配的运动补偿、定位解算的相机位姿估计提供基础数据,其核心需求是:静态零漂小、动态测量精度高(加速度误差,角速度误差、采样率高 $^{[5]}$ 。电路设计针对传感器精度进行优化。SPI 总线串联匹配电阻,减少信号反射,保障数据稳定传输;集成 NTC 热敏电阻(精度 ± 1 $^{\circ}$ C),实时监测传感器温度,通过ADC 输入主控后动态修正陀螺仪零漂, $-20 \sim +60$ $^{\circ}$ C

范围内补偿误差≤ 0.01%s; 电源端并联陶瓷电容与钽电容,滤除高频与低频噪声,确保传感器供电稳定。模块采用金属屏蔽壳封装,减少电磁干扰对测量精度的影响。该 IMU 模块可提供高精度姿态数据,静态零漂与动态误差均满足设计要求,能够有效补偿无人机飞行中的姿态扰动(如俯仰角±5°、航向角±10°/s),为后端 PnP 定位解算提供可靠的相机位姿基准。

2.4 无线通信模块

无线通信模块是机载端与中继端/地面端的数据"桥梁",其核心需求是超视距传输(视距内 $\geq 5 \text{ km}$)、低延迟($\leq 100 \text{ ms}$)、高稳定性(丢包率 $\leq 1\%$),同时支持动态调制(根据信道质量切换 BPSK/QPSK/16QAM/64QAM)。此模块电路设计重点提升抗干扰能力。采用 28AWG 双绞差分线连接模块与主控,长度 $\leq 150 \text{ mm}$,表层包覆接地屏蔽层,阻抗匹配 50Ω ,抑制振动引发的信号串扰;电源端采用 DC-DC 芯片供电,并联陶瓷电容与电解电容,滤除高频纹波 [6];集成射频开关 SKY 13352,实现 $56 \text{ 与 Wi-Fi}}$ 双模切换,切换时间 $\leq 10 \text{ ms}$,满足不同场景通信需求 [7]。该通信模块可在超视距场景下实现稳定数据传输,延迟与丢包率均满足设计要求,能够保障图像特征数据、IMU 数据的实时回传,为后端定位解算提供及时的数据支撑。

3 系统性能测试

为全面验证无人机三维目标定位系统的性能,搭建了一套基于 MATLAB 与 Gazebo 的联合仿真平台。该平台以 ROS(Robot Operating System)为通信中枢,构建全链路验证体系,实现了从算法设计、功能验证到性能评估的完整测试流程。测试平台采用了高性能的硬件组合,并通过对计算资源的精细化调度以确保实时性。

系统软件架构以 ROS Noetic 为通信中枢,无缝连接 Gazebo 11 仿真环境与 MATLAB R2022a 算法平台,构建了跨平台数据闭环。在 Ubuntu 系统中部署 ROS 主节点,Gazebo 通过插件集成 PX4 无人机模型并发布相机与 IMU 传感器数据话题;MATLAB 则通过 ROS 工具箱订阅这些话题,将传感器数据转换为内部矩阵格式进行处理,最终将定位结果打包为 ROS 消息发布回仿真环境,实现了从传感数据生成到算法结果反馈的自动化联动。

为全面验证算法性能,仿真平台构建了城市场景、山区地形和农田环境三类异构测试场景,以模拟真实应用中的遮挡、动态干扰、弱纹理及尺度变化等挑战。同时,传感器模型引入了逼近真实的噪声特性:相机添加了高斯噪声与运动模糊,IMU则配置了精确的噪声

密度与零漂参数,并通过 Gazebo 插件实现误差注入,确保了仿真数据与物理世界数据特性的一致性,为算法测试提供了高逼真度的数据源。

3.1 测试环境与方案

模拟测试环境选取平原、山地、城市三种典型场景,目标距离 200 m、350 m、500 m,风速 0~13.8 m/s(0~6级),光照条件涵盖晴天(照度 \geq 10 000 lux)、阴天(1 000~5 000 lux)与黄昏(\leq 500 lux)。测试设备包括本文设计的无人机系统、高精度 RTK(作为真值参考)、风速仪、照度计及数据记录仪。

测试方案分为静态定位、动态跟踪与环境适应性 三类:

- 1. 静态定位: 在不同场景设置固定目标,无人机 悬停采集图像,解算定位结果,对比RTK真值,计算RMSF。
- 2. 动态跟踪 无人机沿预设航迹飞行(速度 5 m/s), 跟踪移动目标(速度 2 m/s),记录定位结果与轨迹偏差。
- 3. 环境适应性: 在不同风速与光照条件下测试, 统计定位误差增幅、通信中断率与续航时间变化。

3.2 测试结果分析

1. 静态定位精度。不同场景与距离下静态定位精度测试结果如表 1 所示。在平原场景 500 m 距离下,定位 RMSE3. 2 m,满足 \leqslant 5 m 设计要求;山地场景因地形遮挡,误差略增,500 m 时 RMSE4. 5 m;城市场景受建筑多路径干扰,500 m 时 RMSE4. 8 m,仍优于同类系统(误差 $10\sim20$ m)。

表 1 不同场景与距离下静态定位精度测试结果

场景类型	本系统 RMSE	大疆 Phantom4RTK 典型误差
平原	3.2 m	1 cm+1 ppm
山地	4.5 m	$5\sim 8$ m
城市	4.8 m	$8\sim 10~\text{m}$

2. 动态跟踪性能。在动态跟踪测试中,无人机飞行速度 5 m/s,目标移动速度 2 m/s,不同距离下轨迹偏差如表 2 所示。500 m 距离内轨迹偏差≤ 5.2 m,平均跟踪延迟 0.42 s,满足动态目标监测需求,偏差主要源于图像传输与解算延迟,通过算法优化可进一步降低。

表 2 不同距离下轨迹偏差

目标距离(m)	轨迹偏差 (m)	跟踪延迟(s)
200	2. 1	0.38
350	3.8	0.40
500	5.2	0.42

3. 环境适应性。环境适应性测试结果如表 3 所示。 6 级风力下,定位误差增幅 16%,通信中断率 0. 8%,主 要因无人机姿态扰动导致图像模糊,通过 IMU 动态补 偿可缓解; 黄昏低光照条件下,误差增幅 19%,通信无 明显影响,可通过图像增强算法提升弱光成像质量; -20 ℃低温环境下,续航时间 2.1 h,衰减 9%,满足 寒冷地区作业需求。

表 3 环境适应性测试结果

环境条件	定位误差增幅(%)	通信中断 率 (%)	续航时间(h)
5 无风晴天	0	0	2.3
6级风晴天	16	0.8	2.3
无风黄昏	19	0	2.3
-20 ℃无风晴天	12	0	2.1

4 结论

本文设计了一套无人机三维目标定位系统机载端硬件,通过各个模块的协同优化,解决当前民用无人机机载设备高精度与轻量化冲突、复杂环境适应性差、实时性与低功耗失衡三大核心问题,系统通过多场景测试验证,定位精度、续航与环境适应性均优于同类产品,可应用于应急救援、电力巡检等领域。

参考文献:

- [1] 王孟阳,张栋,唐硕等.复杂动态环境下多无人机目标跟踪的分布式协同轨迹规划方法[J].指挥与控制学报,2024,10(02):197-212.
- [2] 吴桐,李湛,郑晓龙等.基于纯方位测量信息的多无人机协同目标跟踪[[].飞控与探测,2024,07(04):17-25.
- [3] 李成.基于相关滤波的无人机目标跟踪的研究与实现 [D]. 深圳: 深圳大学,2021.
- [4] 沙苗苗, 李宇, 李安. 改进 Faster R-CNN 的遥感图像多尺度飞机目标检测[J]. 遥感学报, 2022, 26(08):1624-1635.
- [5] 高鑫阳.基于无人机视觉信息的移动目标跟踪技术研究[D]. 北京:北京化工大学,2025.
- [6] 李华耀, 钟小勇, 杨智能, 等. 结合孪生网络和 Trans former 的轻量级无人机目标跟踪算法 [J]. 电光与控制, 2025, 32(06):31-37.
- [7] 刘芳,孙亚楠.基于自适应融合网络的无人机目标跟踪算法[J]. 航空学报,2022,43(07):366-376.